

**О СЖАТИИ БЕСКОНЕЧНОГО ПОЛОГО КРУГОВОГО ЦИЛИНДРА ДАВЛЕНИЕМ, ПРИЛОЖЕННЫМ НА УЧАСТКЕ БОКОВОЙ ПОВЕРХНОСТИ**

Г. С. ШАПИРО

(Москва)

Вопрос о сжатии бесконечного кругового цилиндра давлением, приложенным на конечной длине его боковой поверхности, рассматривался А. и Л. Föppl [1] и А. Freudenthal [2].

Совсем недавно на эту тему появилась работа М. Barton [3], давшего приближенное решение задачи в рядах Фурье. Во всех указанных работах рассматривается сплошной цилиндр. Решений для полого цилиндра, доведенных до числовых результатов, в литературе нет. Между тем этот вопрос представляет интерес, в особенности для цилиндров со стенками средней и большой толщины, для которых непригодна теория тонких оболочек.

Ниже приводятся результаты вычислений для цилиндров с отношениями внутреннего радиуса к внешнему 0,5, 0,6 и 0,7. Давление предполагается на внешней поверхности.

Пусть  $a$  — внутренний,  $b$  — внешний радиусы цилиндра,  $2c$  — длина загруженного участка,  $\sigma$  — интенсивность распределенного давления; расположение системы координат показано на фиг. 1. Для давления, сосредоточенного по окружности, интенсивность нагрузки будем обозначать через  $P$ .

Решение находим, пользуясь функцией напряжений А. Love, совпадающей для случая осевой симметрии с функцией Б. Г. Галеркина:

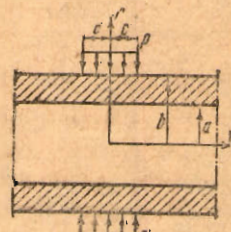
$$\varphi = \int_0^\infty [AI_0(ar) + BxrI_1(ar) + CK_0(ar) + DarK_1(ar)] \sin zx da \quad (1)$$

где  $I_0(ar)$  и  $I_1(ar)$  — функции Вебера,  $K_0(ar)$ ,  $K_1(ar)$  — функции Макдональда.

Напряжения и смещения выражаются через функцию  $\varphi$ :

$$\begin{aligned} \widehat{rr} &= \frac{\partial}{\partial z} \left( \sigma \nabla^2 \varphi - \frac{\partial^2 \varphi}{\partial r^2} \right) \\ \widehat{zz} &= \frac{\partial}{\partial z} \left[ (2-\sigma) \nabla^2 \varphi - \frac{\partial^2 \varphi}{\partial z^2} \right] \\ \widehat{rz} &= \frac{\partial}{\partial r} \left[ (1-\sigma) \nabla^2 \varphi - \frac{\partial^2 \varphi}{\partial z^2} \right] \end{aligned} \quad (2)$$

$$w = -\frac{1+\sigma}{E} \frac{\partial^2 \varphi}{\partial r \partial z} \quad (3)$$



Фиг. 1

Величины  $A$ ,  $B$ ,  $C$  и  $D$ , входящие в (1), определяются из граничных условий:

$$\widehat{rr} = 0, \quad \widehat{rz} = 0 \quad \text{при } r = a; \quad \widehat{rr} = -\frac{P}{\pi} \int_0^\infty \cos az da, \quad \widehat{rz} = 0 \quad \text{при } r = b \quad (4)$$

Не останавливаясь на выкладках [4], приведем окончательные выражения для напряжений и смещений на поверхностях цилиндра. При  $r = a$

$$\widehat{zz} = \frac{P}{\pi b} \int_0^\infty \frac{2}{k\beta} \left[ A_1 \beta + (1-\sigma) B_1 - \frac{1-\sigma}{k} C_1 - \frac{k^2 \beta^2 + 2(1-\sigma)}{k\beta} D_1 \right] \frac{\cos \beta z}{\Delta} d\beta \quad (5)$$

$$\widehat{rr} = \frac{P}{\pi b} \int_0^\infty 2 \left[ \frac{\sigma}{k} A_1 - \frac{1-\sigma}{k\beta} B_1 - \sigma \left( 1 + \frac{2(1-\sigma)}{k^2 \beta^2} \right) D_1 + \frac{1-\sigma}{k^2 \beta^2} C_1 \right] \frac{\cos \beta z}{\Delta} d\beta \quad (6)$$

$$u = -\frac{2(1-\sigma^2)P}{\pi E} \int_0^\infty \left( B_1 - \frac{C_1}{k} \right) \frac{\cos \beta \zeta}{\beta \Delta} d\beta \quad (7)$$

При  $r=b$

$$\begin{aligned} \bar{zz} &= \frac{P}{\pi b} \int_0^\infty \left\{ k [B_1^2 - B_1^2 - C_1^2 + D_1^2] + 2\beta (A_1 B_1 - C_1 D_1) + 1 \right\} + \\ &\quad + \frac{1}{k} \left[ 2(1-\sigma) \left( D_1^2 - C_1^2 - \frac{2}{\beta} C_1 D_1 + \frac{1}{\beta^2} \right) + 1 \right] \frac{\cos \beta \zeta}{\Delta} d\beta \end{aligned} \quad (8)$$

$$\begin{aligned} \bar{\theta\theta} &= \frac{P}{\pi b} \int_0^\infty \left\{ 2\sigma k \beta (A_1 B_1 - C_1 D_1) - 4\sigma(1-\sigma) \frac{C_1 D_1}{k \beta} - 2(1-\sigma)(B_1^2 - D_1^2) + \right. \\ &\quad \left. + \frac{4(1-\sigma)^2}{k \beta^2} D_1^2 + \frac{2(1-\sigma)}{k \beta^2} \right\} \frac{\cos \beta \zeta}{\Delta} d\beta \end{aligned} \quad (9)$$

$$u = -\frac{(1+\sigma)P}{\pi E} \int_0^\infty \left\{ 2(1-\sigma) k \beta B_1^2 - 2(1-\sigma) \left[ k \beta + \frac{2(1-\sigma)}{k \beta} \right] D_1^2 - \frac{2(1-\sigma)}{k \beta} \right\} \frac{\cos \beta \zeta}{\Delta} d\beta \quad (10)$$

Здесь

$$k = \frac{a}{b}, \quad \beta = ab, \quad \zeta = \frac{z}{b}$$

$$A_1 = I_0(k\beta) K_0(\beta) - K_0(k\beta) I_0(\beta)$$

$$B_1 = I_0(k\beta) K_1(\beta) + K_0(k\beta) I_1(\beta)$$

$$C_1 = I_1(k\beta) K_0(\beta) + K_1(k\beta) I_0(\beta)$$

$$D_1 = I_1(k\beta) K_1(\beta) - K_1(k\beta) I_1(\beta)$$

$$\begin{aligned} \Delta &= k \beta^2 [A_1^2 - B_1^2 - C_1^2 + D_1^2] + 2(1-\sigma) \left[ k B_1^2 - \frac{C_1^2}{k} + \right. \\ &\quad \left. + \left( k + \frac{1}{k} + \frac{1}{k \beta^2} \right) D_1^2 \right] + k + \frac{1}{k} + \frac{4(1-\sigma)}{k \beta^2} \end{aligned}$$

В случае нагрузки  $p$ , распределенной по кольцу шириной  $2c$ , в формулах (5)–(10) величину  $P$  следует заменить на  $2p \sin \gamma \beta$ , причем  $\gamma = \frac{c}{b}$ .

При вычислениях интервал интегрирования разбивается на две части: от 0 до 16 и от 16 до  $\infty$ . В соответствии с этим, формулы (5) и (8) для напряжений  $\bar{zz}$  и формулы (7) и (10) для смещений  $u$  можно представить соответственно в виде сумм:

$$\bar{zz} = J_{zz}^{-1} + J_{zz}^{-2}, \quad u = J_u^{-1} + J_u^{-2}$$

Первые слагаемые в этих суммах вычисляются по правилу Симпсона; во вторых слагаемых подинтегральные функции заменяются их асимптотическими выражениями, что позволяет выразить эти интегралы через табулированные функции. При этом используются асимптотические представления функций Вебера и Макдональда

$$\begin{aligned} I_n(x) &\sim \frac{e^x}{\sqrt{2\pi x}} \left[ 1 - \frac{4n^2 - 1}{8x} + \frac{(4n^2 - 1)(4n^2 - 3^2)}{2(8x)^2} \right], \\ K_n(x) &\sim \sqrt{\frac{\pi}{2x}} e^{-x} \left[ 1 + \frac{4n^2 - 1}{8x} + \frac{(4n^2 - 1)(4n^2 - 3^2)}{2(8x)^2} \right] \end{aligned} \quad (12)$$

помощью которых величины  $A_1$ ,  $B_1$ ,  $C_1$  и  $D_1$  могут быть выражены в виде

$$\begin{aligned} A_1 &\sim -\frac{e^{(1-k)\beta}}{2\sqrt{k\beta}} \left[ 1 - \frac{1-k}{8k\beta} + \frac{9-2k+9k^2}{128k^2\beta^2} \right] \\ B_1 &\sim \frac{2(1-k)\beta}{2\sqrt{k\beta}} \left[ 1 - \frac{1+3k}{8k\beta} + \frac{3(3+2k-5k^2)}{128k^2\beta^2} \right] \\ C_1 &\sim \frac{e^{(1-k)\beta}}{2\sqrt{k\beta}} \left[ 1 + \frac{3+k}{8k\beta} - \frac{3(-5+2k+3k^2)}{128k^2\beta^2} \right] \\ D_1 &\sim \frac{e^{(1-k)\beta}}{2\sqrt{k\beta}} \left[ 1 + \frac{3(1-k)}{8k\beta} - \frac{3(15+18k+15k^2)}{128k^2\beta^2} \right] \end{aligned} \quad (13)$$

Пользуясь (13) для  $J_{zz}^{-2}$  и  $J_u^{-2}$ , получаем при  $r=a$  и  $\zeta=0$  для нагрузки  $P$ , сосредоточенной по окружности:

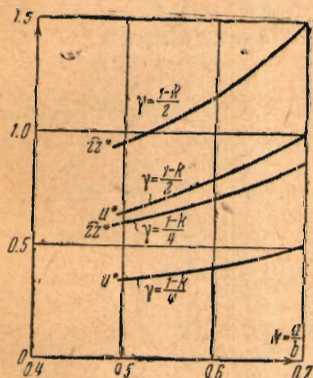
$$\begin{aligned} J_{zz}^{-2} &= \frac{4}{\pi b \sqrt{k}} e^{-16(1-k)} \left( 16 + \frac{4}{1-k} \right) \\ J_u^{-2} &= -\frac{4(1-\sigma^2)}{\pi E} P \left[ e^{-16(1-k)} + \right. \\ &\quad \left. + \frac{(3+2k+3k^2)}{8k} Ei[-16(1-k)] \right] \end{aligned} \quad (14)$$

для нагрузки  $p$ , распределенной по кольцу шириной  $2c$ :

$$\begin{aligned} J_{zz}^{-2} &= \frac{8p}{\pi \sqrt{k} [(1-k)^2 + \gamma^2]} [(1-k) \sin 16\gamma + \gamma \cos 16\gamma] \\ J_u^{-2} &\approx 0 \end{aligned} \quad (15)$$

При  $r=b$  и  $\zeta=0$  и нагрузке  $p$ , распределенной по кольцу шириной  $2c$ , получим

$$\begin{aligned} J_{zz}^{-2} &= \frac{2P}{\pi} \sin 16\gamma \\ J_u^{-2} &= -\frac{(1-\sigma^2) pb^2}{4\pi E} \left[ \sin 16\gamma - 16\gamma \cos 16\gamma + \frac{1-\sigma}{k} \left( \frac{\sin 16\gamma}{32} + \gamma \cos 16\gamma + 16\gamma^2 \sin 16\gamma \right) \right] \end{aligned} \quad (16)$$



Фиг. 3

Подобного же вида формулы можно вывести и для  $\zeta \neq 0$ . Приводим результаты числовых вычислений, причем коэффициент Пуассона  $\sigma$  принят равным 0.3.

1. Для нагрузки  $P$ , сосредоточенной по окружности, на внутренней поверхности цилиндра ( $r=a$ ) для  $z=0$

$k$	$\widehat{zz}^* = \frac{\widehat{zz}b}{P}$	$u^* = \frac{uE}{P}$
0.5	2.549	-1.443
0.6	3.768	-2.169
0.7	6.079	-3.529

По этим данным построены графики фиг. 2.

2. Для нагрузки  $p$ , распределенной по кольцу шириной  $2c$ , на внутренней поверхности ( $r=a$ ) для  $z=0$ .

Фиг. 3

$$\widehat{zz}^* = \frac{\widehat{zz}}{p}$$

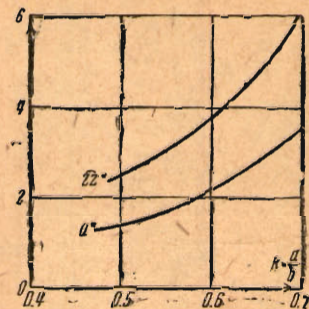
$$u^* = \frac{uE}{pb}$$

$k$	$\gamma = \frac{1-k}{4}$	$\gamma = \frac{1-k}{2}$	$\gamma = \frac{1-k}{4}$	$\gamma = \frac{1-k}{2}$
0.5	0.590	0.953	-0.351	-0.651
0.6	0.703	1.127	-0.425	-0.803
0.7	0.863	1.486	-0.520	-1.000

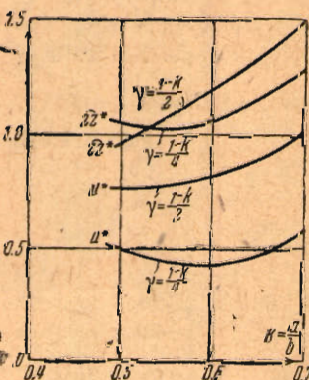
По этим данным построены графики на фиг. 3.

3. Для нагрузки, распределенной по кольцу шириной  $2c$ , на внешней поверхности цилиндра ( $r=b$ ) для  $z=0$  (фиг. 4).

$k$	$\gamma = \frac{1-k}{4}$	$\gamma = \frac{1-k}{2}$	$\gamma = \frac{1-k}{4}$	$\gamma = \frac{1-k}{2}$
0.5	-1.077	-0.968	-6.493	-0.779
0.6	-1.075	-1.197	-0.534	-0.882
0.7	-1.292	-1.518	-0.591	-1.038



Фиг. 2



Фиг. 4

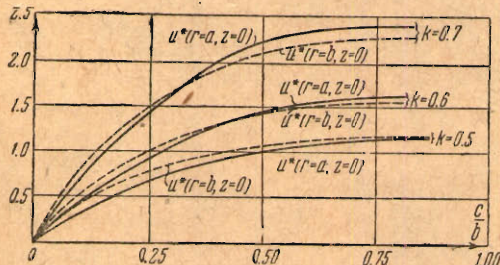
На фиг. 5 представлены смещения  $u(a)$  и  $u(b)$  точек внутренней и наружной поверхности при разных длинах загружения. Эти кривые построены на основании данных:

$k = 0.5$

$\gamma = \frac{c}{b}$	$u^* = \frac{u(a)E}{pb}$	$u^* = \frac{u(b)E}{pb}$
0.125	-0.351	-0.495
0.25	-0.651	-0.779
0.5	-1.022	-1.082
0.8	-1.145	-1.170
$\infty$	-1.333	-1.367

$k = 0.6$

$\gamma = \frac{c}{b}$	$u^* = \frac{u(a)E}{pb}$	$u^* = \frac{u(b)E}{pb}$
0.125	-0.425	-0.531
0.25	-0.803	-0.882
0.5	-1.481	-1.465
0.8	-1.630	-1.583
$\infty$	-1.875	-1.825



Фиг. 5

ше, чем смещения на внутренней поверхности  $u(a)$ ; при увеличении длины загружения, наоборот,  $u(a) > u(b)$ .

При удлинении участка до бесконечности приходим к задаче Ляме, для которой

$$u(a) = -\frac{2kp}{E(1-k^2)}, \quad u(b) = -\frac{pb}{E} \left( \frac{1+k^2}{1-k^2} - \frac{c}{b} \right)$$

Результаты, практически близкие к решению Ляме, достигаются уже когда  $2c = 2b$ .

Результаты подсчетов смещений  $u(a)$  на внутренней поверхности по длине цилиндра ( $\zeta \neq 0$ ) даны на фиг. 6, из которой видно, что уже при  $z \approx 0.7 b$  смещения близки к нулю.

При малых длинах загруженного участка (меньше толщины цилиндра) распределение напряжений заметно отличается от даваемого теориями оболочек. Так, если отношение длины загруженного участка к толщине цилиндра равно половине, то напряжения  $zz$  на внешней поверхности цилиндра  $\approx$  в 1,5 раза превышают по величине напряжения на внутренней поверхности.

Поступила в редакцию

24 XII 1942

Фиг. 6

Институт механики  
Академии Наук СССР

## AN INFINITE HOLLOW CIRCULAR CYLINDER LOADED BY AN EXTERNAL PRESSURE ON A FINITE RANGE OF ITS LENGTH

G. S. SHAPIRO

(Summary)

Using the solution expounded in a previously published article<sup>[4]</sup> the author gives the results of numerical calculations of the stresses  $zz$  as well as radial displacements in cylinders for which the ratios of internal and external radii are equal to 0.5, 0.6 and 0.7.

### ЛИТЕРАТУРА

1. Föppl A. und L. Drang u. Zwang. 1928.
2. Freudenthal A. Forscherarbeiten auf dem Gebiete des Eisenbetons. 1933. № 40.
3. Barton M. Journal of Applied Mechanics. 1941. V 8. № 3. P. A 97—104.
4. Шапиро Г. ДАН. 1942. Т. 37. № 9.